



Кин. ур-е
и прогноз
волнения

Кинетическое
уравнение

Ветровая
накачка

Диссипация
Нелинейный
перенос

Misguiding
star

О домини-
ровании
нелинейно-
го
переноса

Асимпт.
теория
волнения

Стадии
роста
волнения

Публикации

Кинетическое уравнение для волн на воде и прогноз ветрового волнения

С.И. БАДУЛИН^{1,2}, В.Е. ЗАХАРОВ^{1–4}

в сотрудничестве с

А.Н. Пушкарёвым, В.В. Геогджаевым, D. Resio
M. Benoit, E. Gagnaire-Renou,
А. Бабанин

¹Институт океанологии им. П.П. Ширшова, ²Новосибирский
государственный университет, ³Физический институт им. П.Н.
Лебедева, ⁴Университет Аризоны

10 июня 2011



1 Кинетическое (Хассельманна) уравнение

- Ветровая накачка
- Диссипация
- Нелинейный перенос

2 A misguiding star by Komen, Hasselmann, Hasselmann

3 О доминировании нелинейного переноса

4 Асимптотическая теория ветрового волнения

5 Пространственный рост волнения в численном эксперименте и стадии роста волнения

6 Публикации



Klauss HASSELMANN 1962, On the nonlinear energy transfer in a gravity wave spectrum

Кин. ур-е
и прогноз
волнения

Кинетическое
уравнение
Ветровая
накачка
Диссипация
Нелинейный
перенос

Misguiding
star

О домини-
ровании
нелинейно-
го
переноса

Асимпт.
теория
волнения

Стадии
роста
волнения

Публикации

Уравнение Хассельманна, баланса

$$\frac{\partial n_{\mathbf{k}}}{\partial t} + \nabla_{\mathbf{k}} \omega_{\mathbf{k}} \nabla_{\mathbf{r}} n_{\mathbf{k}} = S_{in}[n_{\mathbf{k}}] + S_{diss}[n_{\mathbf{k}}] + S_{nl}[n_{\mathbf{k}}]$$

На самом деле это уравнение нужно писать для $N(\mathbf{k})$ – единственная неточность Хассельманна

Кинетическое уравнение

$$\frac{\partial N_{\mathbf{k}}}{\partial t} + \nabla_{\mathbf{k}} \omega_{\mathbf{k}} \nabla_{\mathbf{r}} N_{\mathbf{k}} = S_{in}[N_{\mathbf{k}}] + S_{diss}[N_{\mathbf{k}}] + S_{nl}[N_{\mathbf{k}}]$$



Правая часть уравнения Хассельманна

Кин. ур-е
и прогноз
волнения

Кинетическое
уравнение
Ветровая
накачка
Диссипация
Нелинейный
перенос

Misguiding
star

О домини-
ровании
нелинейно-
го
переноса

Асимпт.
теория
волнения

Стадии
роста
волнения

Публикации

ВАЖНО !

- Волновая накачка S_{in} – эмпирически-эвристический
- Диссипация S_{diss} – эмпирически-эвристический
- Нелинейный перенос S_{nl} – получен из “первых
принципов” и задаётся явным выражением



Wave input. The Vavilov-Cherenkov excitation Cherenkov, Frank, Tamm – Nobel Prize 1958

Кин. ур-е
и прогноз
волнения

Кинетическое
уравнение

Ветровая
накачка

Диссипация
Нелинейный
перенос

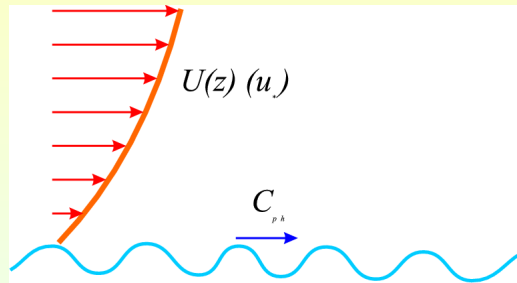
Misguiding
star

О домини-
ровании
нелинейно-
го
переноса

Асимпт.
теория
волнения

Стадии
роста
волнения

Публикации



Quasi-linear wave input

$$S_{in} = \beta(\mathbf{k}, N_{\mathbf{k}}) N_{\mathbf{k}},$$

wave growth $\beta(\mathbf{k}) = \varrho \omega(\mathbf{k})(\varsigma - 1)^n$ at $\varsigma > 1$, $n = 1, 2$.

The Cherenkov-like factor

$$\varsigma = s \frac{U_h}{C_{ph}} \cos \theta, s = O(1), \theta \text{ is wave-to-wind direction.}$$



Какая накачка «правильная»?

Кин. ур-е
и прогноз
волнения

Кинетическое
уравнение

Ветровая
накачка

Диссипация
Нелинейный
перенос

Misguiding
star

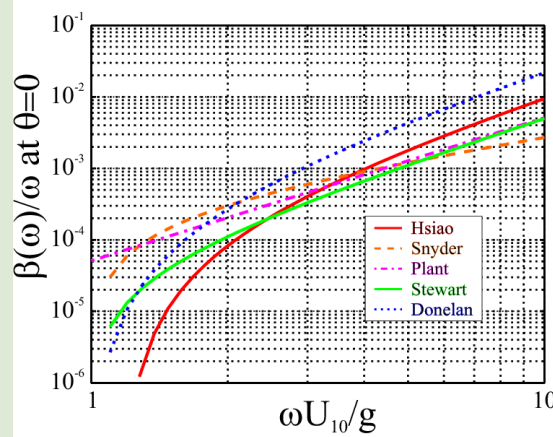
О домини-
ровании
нелинейно-
го
переноса

Асимпт.
теория
волнения

Стадии
роста
волнения

Публикации

Параметризации инкремента в современных прогностических моделях





«Барашковая» (white-capping) диссипация (Hasselmann, 1974)

Кин. ур-е
и прогноз
волнения

Кинетическое
уравнение
Ветровая
накачка
Диссипация
Нелинейный
перенос

Misguiding
star

О домини-
ровании
нелинейно-
го
переноса

Асимпт.
теория
волнения

Стадии
роста
волнения

Публикации

Это наименее изученная проблема ветрового волнения
Общепринятый шаблон

$$S_{diss}(\mathbf{k}) = -\frac{C_{diss}}{g^p} \hat{\omega}^{(2p+1)} E^{p/2} \left[\delta \left(\frac{\omega}{\hat{\omega}} \right)^2 + (1 - \delta) \left(\frac{\omega}{\hat{\omega}} \right)^4 \right] N(\mathbf{k})$$

где $\bar{\omega}$

$$\hat{\omega} = E \times \left(\int_0^{+\infty} \int_{-\pi}^{\pi} \omega^{-1} E(\mathbf{k}) d\omega d\theta \right)^{-1},$$

$C_{diss} = 4.5$, $\delta = 0.5$, $p = 4$ значения по умолчанию модели WAM-cycle 4. Недавние исследования (Korotkevich et al. 2007, 2008) дают пороговую зависимость от крутизны $\mu = \hat{\omega} \sqrt{E}/g$, с показателем $p > 10$.



Интеграл столкновений

Кин. ур-е
и прогноз
волнения

Кинетическое
уравнение
Ветровая
накачка
Диссипация
Нелинейный
перенос

Misguiding
star

О доминиро-
вании
нелинейно-
го
переноса

Асимпт.
теория
волнения

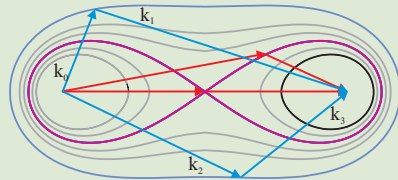
Стадии
роста
волнения

Публикации

$$S_{nl}[N_{\mathbf{k}}] = \int_{\mathbf{k}_1, \mathbf{k}_2, \mathbf{k}_3} |T_{\mathbf{k}, \mathbf{k}_1, \mathbf{k}_2, \mathbf{k}_3}|^2 \{N_2 N_3 (N + N_1) - N N_1 (N_2 + N_3) \\ \times \delta(\mathbf{k} + \mathbf{k}_1 - \mathbf{k}_2 - \mathbf{k}_3) \delta(\omega + \omega_1 - \omega_2 - \omega_3)\} d\mathbf{k}_1 d\mathbf{k}_2 d\mathbf{k}_3$$

4-wave resonances

$$\left\{ \begin{array}{l} \omega_0 + \omega_1 = \omega_4 + \omega_3 \\ \mathbf{k}_0 + \mathbf{k}_1 = \mathbf{k}_4 + \mathbf{k}_3 \end{array} \right.$$



Explicit formula for T_{0123}

$$T_{0123} = - \frac{1}{32\pi^2} \frac{1}{(q_1 q_2 q_3 q_4)^{1/4}} \\ \times \left[(-k_2 k_3 + q_2 q_3)(-k_1 k_4 + q_1 q_4) \right. \\ + (-k_1 k_3 + q_1 q_3)(-k_2 k_4 + q_2 q_4) \\ + (k_1 k_2 + q_1 q_2)(k_3 k_4 + q_3 q_4) \\ + \omega_1 \omega_2 \omega_3 \omega_4 \\ \times \left[q_1^2 + q_2^2 + q_3^2 + q_4^2 - q_{1-3} (\omega_2 - \omega_4)^2 \right. \\ \left. - q_{2-3} (\omega_2 - \omega_3)^2 - q_{1+2} (\omega_3 + \omega_4)^2 \right] \\ + \frac{(\omega_2 - \omega_4)^2}{q_{1-3} - (\omega_2 - \omega_4)^2} \\ \times [2k_1 k_3 + \omega_1 \omega_3 (q_1 + q_3 - q_{1-3})] \\ \times [2k_2 k_4 + \omega_2 \omega_4 (q_2 + q_4 - q_{2-3})] \\ + \frac{(\omega_2 - \omega_3)^2}{q_{2-3} - (\omega_2 - \omega_3)^2} \\ \times [2k_1 k_4 + \omega_1 \omega_4 (q_1 + q_4 - q_{2-3})] \\ \times [2k_2 k_3 + \omega_2 \omega_3 (q_2 + q_3 - q_{2-3})] \\ + \frac{(\omega_3 + \omega_4)^2}{q_{1+2} - (\omega_3 + \omega_4)^2} \\ \times [2k_1 k_2 + \omega_1 \omega_2 (q_1 + q_2 - q_{1+2})] \\ \times [2k_3 k_4 + \omega_3 \omega_4 (q_3 + q_4 - q_{1+2})] \quad (A2)$$



Direct Interaction Approximation for the collision integral S_{nl}

Кин. ур-е
и прогноз
волнения

Кинетическое
уравнение
Ветровая
накачка
Диссипация
Нелинейный
перенос

Misguiding
star

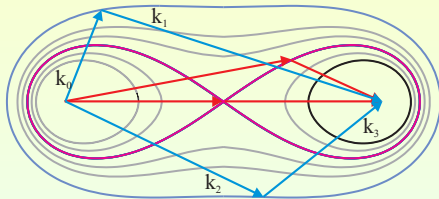
О домини-
ровании
нелинейно-
го
переноса

Асимпт.
теория
волнения

Стадии
роста
волнения

Публикации

DIA учитывает только 4 (четыре!) симметричных квадруплета из всего резонансного континуума (!?)



В спектральных моделях решается большое число уравнений (например, 24(углы) \times 25(частот)) для пространственного спектра для получения всего двух (!!!) характеристик волнового поля (H_s , T_s – значимые высота и период волнения).



Нелинейный перенос в прогностических моделях

Кин. ур-е
и прогноз
волнения

Кинетическое
уравнение
Ветровая
накачка
Диссипация
Нелинейный
перенос

Misguiding
star

О домини-
ровании
нелинейно-
го
переноса

Асимпт.
теория
волнения

Стадии
роста
волнения

Публикации

L. Cavaleri et al. / Progr. in Oceanogr. 75 (2007) 603-674

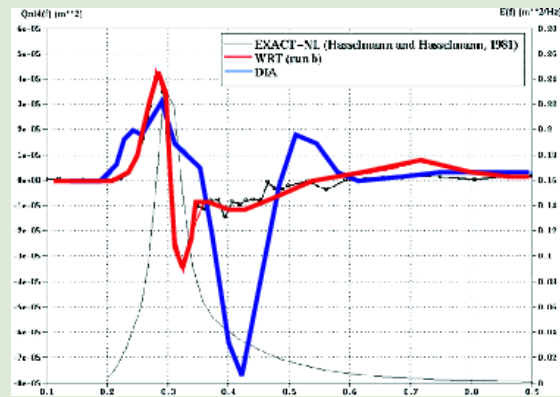


Fig. 7. Nonlinear transfer term $Qnl4(f)$ computed for the test wave spectrum in deep water. These curves are obtained by integration over wave directions.



Summary of the section

Кин. ур-е
и прогноз
волнения

Кинетическое
уравнение
Ветровая
накачка
Диссипация
Нелинейный
перенос

Misguiding
star

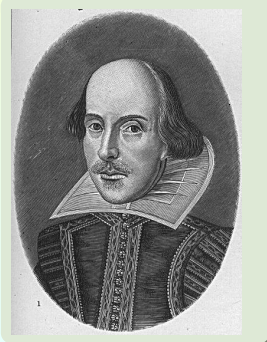
О домини-
ровании
нелинейно-
го
переноса

Асимпт.
теория
волнения

Стадии
роста
волнения

Публикации

“Something is rotten
in the state of Denmark”



William Shakespeare

The Tragical History of
Hamlet, Prince of Denmark



Кин. ур-е
и прогноз
волнения

Кинетическое
уравнение

Ветровая
накачка

Диссипация

Нелинейный
перенос

Misguiding
star

О домини-
ровании
нелинейно-
го
переноса

Асимпт.
теория
волнения

Стадии
роста
волнения

Публикации

Q. Что обеспечивает баланс
в поле ветровых волн?

Нелинейный перенос или
накачка/диссипация?



Схема 1. Mainstream

Кин. ур-е
и прогноз
волнения

Кинетическое
уравнение
Ветровая
накачка
Диссипация
Нелинейный
перенос

Misguiding
star

О домини-
ровании
нелинейно-
го
переноса

Асимпт.
теория
волнения

Стадии
роста
волнения

Публикации

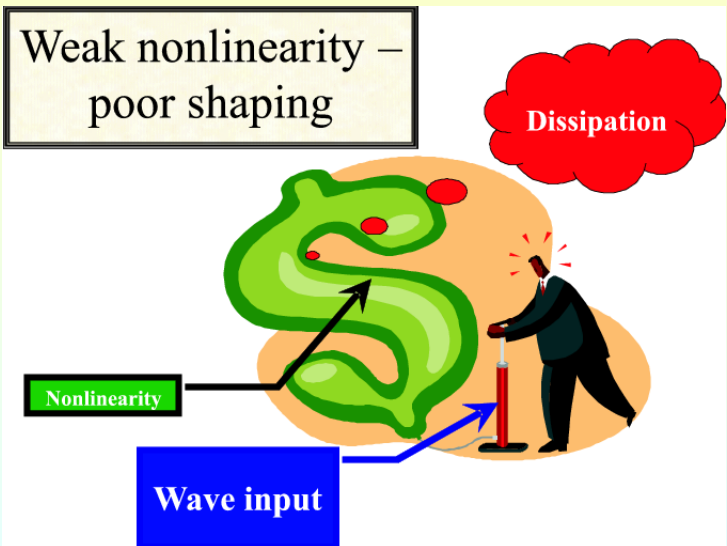




Схема 2. Нелинейный перенос доминирует (наш ответ)

Кин. ур-е
и прогноз
волнения

Кинетическое
уравнение
Ветровая
накачка
Диссипация
Нелинейный
перенос

Misguiding
star

О доминиро-
вании
нелинейно-
го
переноса

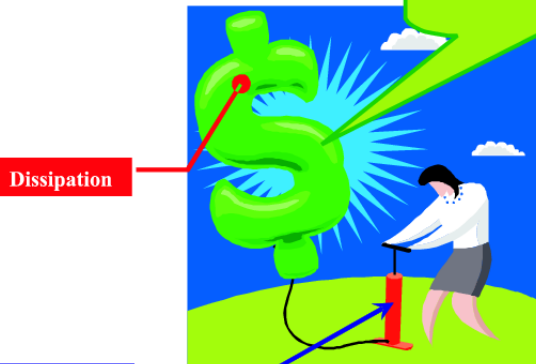
Асимпт.
теория
волнения

Стадии
роста
волнения

Публикации

Strong nonlinearity
keeps the shape

Nonlinearity





Кин. ур-е
и прогноз
волнения

Кинетическое
уравнение

Ветровая
накачка

Диссипация
Нелинейный
перенос

Misguiding
star

О домини-
ровании
нелинейно-
го
переноса

Асимпт.
теория
волнения

Стадии
роста
волнения

Публикации

A misguiding star of wind-wave modeling

by Komen, Hasselmann, Hasselmann 1984



Komen, Hasselmann, Hasselmann 1984,

“On the existence of a fully developed wind-sea spectrum”

Кин. ур-е
и прогноз
волнения

Кинетическое
уравнение

Ветровая
накачка

Диссипация
Нелинейный
перенос

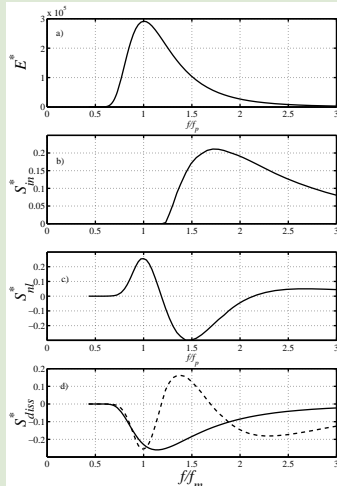
Misguiding
star

О домини-
ровании
нелинейно-
го
переноса

Асимпт.
теория
волнения

Стадии
роста
волнения

Публикации



- Pierson-Moskowitz spectrum
- Input by Snyder et al. (1981)

$$S_{in}(\omega) = \max(0, 0.25\rho_a/\rho_w\omega \times (\beta 28u_*/C_p - 1));$$

- Dissipation

$$S_{diss} = -S_{in} - S_{nl}$$

Output

$$\tilde{S}_{in} : \tilde{S}_{nl} : \tilde{S}_{diss} = 3 : (-1) : (-2)$$

$$\tilde{S}_i = \int_0^{2.5f_m} S_i df d\theta$$



Нелинейная накачка и диссипация

Кин. ур-е
и прогноз
волнения

Кинетическое
уравнение
Ветровая
накачка
Диссипация
Нелинейный
перенос

Misguiding
star

О домини-
ровании
нелинейно-
го
переноса

Асимпт.
теория
волнения

Стадии
роста
волнения

Публикации

$$S_{nl} = \pi g^2 \int |T_{0123}|^2 \quad (1)$$

$$(N_1 N_2 N_3 + NN_{\mathbf{k}_2} N_{\mathbf{k}_3} - NN_{\mathbf{k}_1} N_{\mathbf{k}_2} - NN_{\mathbf{k}_1} N_{\mathbf{k}_3}) \\ \times \delta(\mathbf{k} + \mathbf{k}_1 - \mathbf{k}_2 - \mathbf{k}_3) \delta(\omega_{\mathbf{k}} + \omega_1 - \omega_2 - \omega_3) d\mathbf{k}_1 d\mathbf{k}_2 d\mathbf{k}_3$$

Рассмотрим два слагаемых

$$S_{nl} = F_{\mathbf{k}} - \Gamma_{\mathbf{k}} N_{\mathbf{k}} \quad (2)$$

где

$$F_{\mathbf{k}} = \pi g^2 \int |T_{0123}|^2 N_1 N_2 N_3 \\ \times \delta(\mathbf{k} + \mathbf{k}_1 - \mathbf{k}_2 - \mathbf{k}_3) \delta(\omega_{\mathbf{k}} + \omega_1 - \omega_2 - \omega_3) d\mathbf{k}_1 d\mathbf{k}_2 d\mathbf{k}_3 \quad (3)$$

$$\Gamma_{\mathbf{k}} = \pi g^2 \int |T_{0123}|^2 (N_1 N_2 + N_1 N_3 - N_2 N_3) \\ \times \delta(\mathbf{k} + \mathbf{k}_1 - \mathbf{k}_2 - \mathbf{k}_3) \delta(\omega_{\mathbf{k}} + \omega_1 - \omega_2 - \omega_3) d\mathbf{k}_1 d\mathbf{k}_2 d\mathbf{k}_3 \quad (4)$$



Два слагаемых S_{nl} (благодаря Н.Н. Ивенских)

Кин. ур-е
и прогноз
волнения

Кинетическое
уравнение
Ветровая
накачка
Диссипация
Нелинейный
перенос

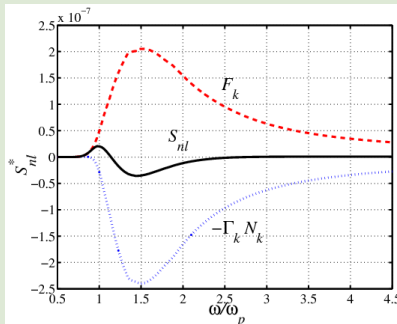
Misguiding
star

О домини-
ровании
нелинейно-
го
переноса

Асимпт.
теория
волнения

Стадии
роста
волнения

Публикации



- S_{nl} состоит из двух больших слагаемых противоположных знаков (Хассельманн знал, но болтал этот факт);
- S_{nl} мало из-за близости к «естественному» состоянию!



Оценка Γ_{nl}

Кин. ур-е
и прогноз
волнения

Кинетическое
уравнение
Ветровая
накачка
Диссипация
Нелинейный
перенос

Misguiding
star

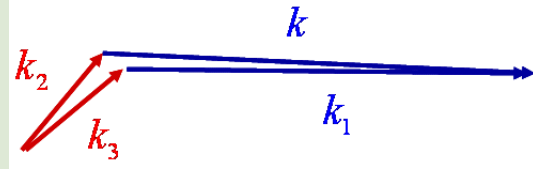
О домини-
ровании
нелинейно-
го
переноса

Асимпт.
теория
волнения

Стадии
роста
волнения

Публикации

Гипотеза: Определяющий вклад в Γ_{nl} вносят взаимодействия пар коротких и длинных волн



$$\Gamma_k = 36\pi\omega(\omega/\omega_p)^3 \mu_p^4 \cos^2 \Theta,$$

маленький параметр $\mu_p = \sqrt{\frac{E\omega_p^4}{g^2}}$ – крутизна

Большой множитель: $36\pi \approx 113.1$



Нелинейный декремент и ветровой инкремент

Кин. ур-е
и прогноз
волнения

Кинетическое
уравнение
Ветровая
накачка
Диссипация
Нелинейный
перенос

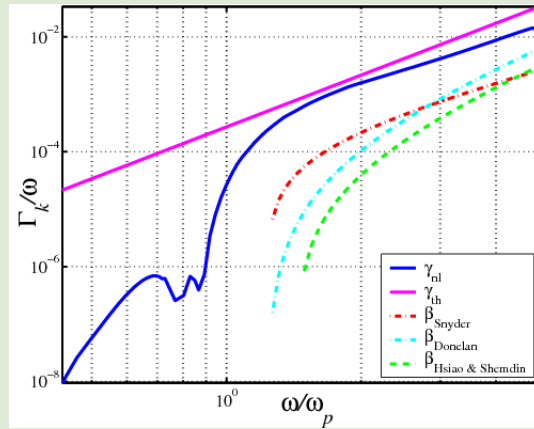
Misguiding
star

О домини-
ровании
нелинейно-
го
переноса

Асимпт.
теория
волнения

Стадии
роста
волнения

Публикации



Нелинейная релаксация на порядок величины сильнее
квази-линейной (S_{in} и S_{diss}) !



Кин. ур-е
и прогноз
волнения

Кинетическое
уравнение

Ветровая
накачка

Диссипация
Нелинейный
перенос

Misguiding
star

О домини-
ровании
нелинейно-
го
переноса

Асимпт.
теория
волнения

Стадии
роста
волнения

Публикации

Что даёт доминирование нелинейного переноса?



Законы сохранения

Кин. ур-е
и прогноз
волнения

Кинетическое
уравнение
Ветровая
накачка
Диссипация
Нелинейный
перенос

Misguiding
star

О домини-
ровании
нелинейно-
го
переноса

Асимпт.
теория
волнения

Стадии
роста
волнения

Публикации

Консервативное КУ

$$\frac{\partial N(\mathbf{k}, t)}{\partial t} = S_{nl}$$

$$N = \int N(\mathbf{k}, t) d\mathbf{k} = \text{const}$$

$$E = \int \omega(\mathbf{k}) N(\mathbf{k}, t) d\mathbf{k} = \text{const}$$

$$M = \int \mathbf{k} N(\mathbf{k}, t) d\mathbf{k} = \text{const}$$

NB.

N – “истинный” интеграл движения. E , M формальные
интегралы (проблема сходимости правой части)



Решения КУ. Локальное равновесие Рэлея-Джинса

Кин. ур-е
и прогноз
волнения

Кинетическое
уравнение

Ветровая
накачка

Диссипация
Нелинейный
перенос

Misguiding
star

О домини-
ровании
нелинейно-
го
переноса

Асимпт.
теория
волнения

Стадии
роста
волнения

Публикации

Стационарное решение удовлетворяет

$$S_{nl} = 0$$

Обращение в нуль подинтегрального выражения

$$N_0 N_1 N_2 + N_0 N_1 N_3 - N_0 N_2 N_3 - N_1 N_2 N_3 = 0$$

– баланс в каждой точке резонансной поверхности,
независимо от коэффициентов взаимодействия.

$$N(\mathbf{k}) = \frac{T}{\omega_k + \mu + \mathbf{k} \cdot \mathbf{V}} \quad (5)$$

T (температура) и μ, \mathbf{V} – произвольные параметры.

**ТЕРМОДИНАМИЧЕСКОЕ РЕШЕНИЕ АБСОЛЮТНО
НЕФИЗИЧНО**



Потоковые (Колмогорова-Захарова) решения

Кин. ур-е
и прогноз
волнения

Кинетическое
уравнение
Ветровая
накачка

Диссипация
Нелинейный
перенос

Misguiding
star

О доминиро-
вании
нелинейно-
го
переноса

Асимпт.
теория
волнения

Стадии
роста
волнения

Публикации

Изотропные решения

$P = \text{const}$ – прямой каскад
Захаров, Филоненко 1966

$$E(\omega, \theta) = C_p g^{4/3} P^{1/3} \omega^{-4}$$

$Q = \text{const}$ – обратный каск.
Захаров 1966 (диссер.),
Захаров, Заславский 1983

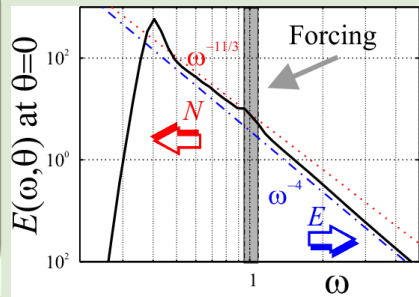
$$E(\omega, \theta) = C_q g^{4/3} Q^{1/3} \omega^{-11/3}$$

Слабо-анизотропные

Кац, Конторович 1974

$$E(\omega, \theta) = g^{4/3} P^{1/3} \omega^{-4} (C_p + C_m g K \cos \theta / (\omega P) + \dots)$$

Численное решение



КЗ решения исключительно
грубы !!!



Константы Колмогорова-Захарова

Кин. ур-е
и прогноз
волнения

Кинетическое
уравнение
Ветровая
накачка
Диссипация
Нелинейный
перенос

Misguiding
star

О домини-
ровании
нелинейно-
го
переноса

Асимпт.
теория
волнения

Стадии
роста
волнения

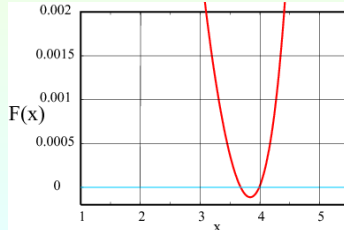
Публикации

Для степенных спектров вида

$$N(\mathbf{k}) = N_0 \left(\frac{|\mathbf{k}|}{|\mathbf{k}_0|} \right)^{-x}$$

спектральные потоки можно вычислить в явном виде
(Геогджаев, Захаров)

$$S_{nl} = g^{3/2} k^{-3x+19/2} F(x) \quad (6)$$



$F(x) = 0$ для обратного и
прямого каскадов, т.е.
 $P \sim F'|_{x=4}; \quad Q \sim F'|_{x=23/6}$
константы К-3

$$\begin{aligned} C_p &\approx 0.219 \\ C_q &\approx 0.227 \end{aligned}$$



Асимптотическая модель растущего волнения

Кин. ур-е
и прогноз
волнения

Кинетическое
уравнение

Ветровая
накачка

Диссипация
Нелинейный
перенос

Misguiding
star

О домини-
ровании
нелинейно-
го
переноса

Асимпт.
теория
волнения

Стадии
роста
волнения

Публикации

Уже не гипотеза $|S_{nl}| \gg |S_{in} + S_{diss}|$!!!

В низшем порядке – консервативное КУ

$$\frac{dN_k}{dt} = S_{nl}$$

Условие замыкания – интегральный баланс

$$\frac{d\langle N_k \rangle}{dt} = \langle S_{in} + S_{diss} \rangle$$



Автомодельные решения

$$(S_{nl} [\nu N(v\mathbf{k})] = \nu^3 v^{19/2} S_{nl} [N(\mathbf{k})])$$

Кин. ур-е
и прогноз
волнения

Кинетическое
уравнение
Ветровая
накачка
Диссипация
Нелинейный
перенос

Misguiding
star

О домини-
ровании
нелинейно-
го
переноса

Асимпт.
теория
волнения

Стадии
роста
волнения

Публикации

Автомодельность второго рода (неполная)

Временной рост

$$E(\omega) = \tau^{p_\tau} \Phi(\omega/\omega_p); \quad \tau = t/t_0 \quad (*)$$

или пространственный

$$E(\omega) = \chi^{p_\chi} \Phi(\omega/\omega_p); \quad \chi = x/x_0 \quad (**)$$

при E и $\langle S_{in} + S_{diss} \rangle$ – степенных функциях t, χ .

Слаботурбулентный закон роста

Колмогоровское соотношение энергия-поток

$$\frac{E\omega_p^4}{g^2} = \alpha_{ss} \left(\frac{\omega_p^3 dE/dt}{g^2} \right)^{1/3}$$

получается элементарным исключением времени
(координаты) из решений (*, **). α_{ss} зависит от p_χ, p_τ –
аналог констант Колмогорова-Захарова



Временной рост. Зыбь – ни накачки, ни диссипации

Кин. ур-е
и прогноз
волнения

Кинетическое
уравнение
Ветровая
накачка
Диссипация
Нелинейный
перенос

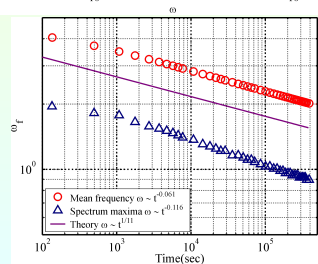
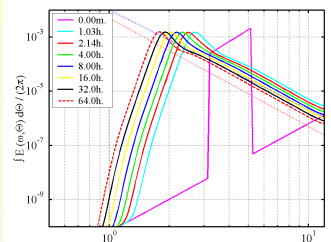
Misguiding
star

О доминиро-
вании
нелинейно-
го
переноса

Асимпт.
теория
волнения

Стадии
роста
волнения

Публикации

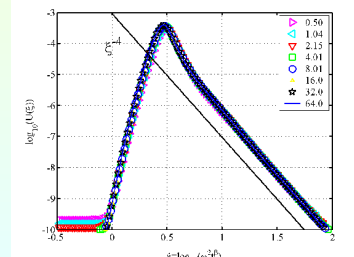


$$N(\mathbf{k}, t) = at^0 U_2(\mathbf{k}t^{-\frac{1}{11}})$$

$$N_{max} = \text{const}$$

$$\omega_p \sim t^{-1/11}$$

Extremely fast relaxation to a self-similar state





Решения с волновой накачкой

Кин. ур-е
и прогноз
волнения

Кинетическое
уравнение
Ветровая
накачка
Диссипация
Нелинейный
перенос

Misguiding
star

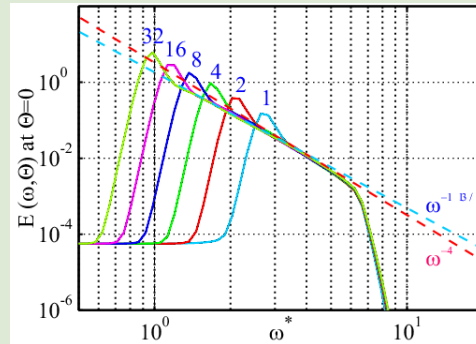
О домини-
ровании
нелинейно-
го
переноса

Асимпт.
теория
волнения

Стадии
роста
волнения

Публикации

Численные решения



Решения стремятся к автомодельным асимптотикам –
аналогам решений Колмогорова-Захарова



Решения с волновой накачкой Зависимость релаксации от направления

Кин. ур-е
и прогноз
волнения

Кинетическое
уравнение
Ветровая
накачка
Диссипация
Нелинейный
перенос

Misguiding
star

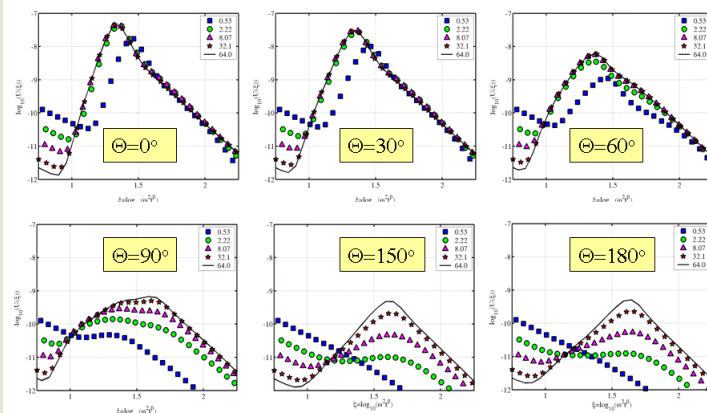
О домини-
ровании
нелинейно-
го
переноса

Асимпт.
теория
волнения

Стадии
роста
волнения

Публикации

$$N(\mathbf{k}, t) = at^{23/11} U_{6/11}(b\mathbf{k}t^{-6/11}), r_\tau = 1$$



«Заколдованный круг» – автомодельность требует
сильной накачки (!?)



Численные решения. Сравнение с параметризацией JONSWAP

Кин. ур-е
и прогноз
волнения

Кинетическое
уравнение
Ветровая
накачка
Диссипация
Нелинейный
перенос

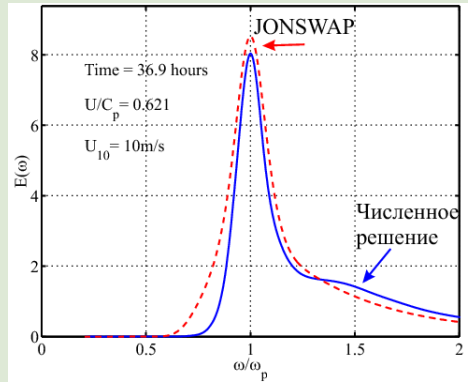
Misguiding
star

О домини-
ровании
нелинейно-
го
переноса

Асимпт.
теория
волнения

Стадии
роста
волнения

Публикации



Асимптотики численных решений и экспериментальных
параметризаций отвечают асимптотикам
Колмогорова-Захарова



Экспериментальные спектры (Hwang et al. 2000)

Кин. ур-е
и прогноз
волнения

Кинетическое
уравнение
Ветровая
накачка
Диссипация
Нелинейный
перенос

Misguiding
star

О домини-
ровании
нелинейно-
го
переноса

Асимпт.
теория
волнения

Стадии
роста
волнения

Публикации

Одномерные спектры

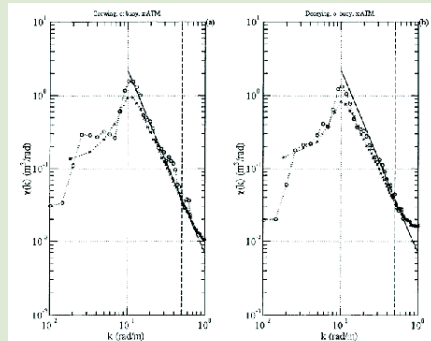


Fig. 8. A comparison of the one-dimensional spectra measured by ATM (crosses) and offshore buoy (ID 4014) (circles). (a) Average of the first 2 hours of data - quasi-stationary condition, and (b) average of the last 2 hours of data decaying wave field. Nohrt curve: $\chi(k) = 0.069 \cdot k^{-4.5}$ (Philips 1985).

Прямые показывают наклон отвечающий решению для
прямого каскада $E(\omega) \sim \omega^{-4}$



Попытка навести элементарный порядок в исследованиях роста волнения

Кин. ур-е
и прогноз
волнения

Кинетическое
уравнение

Ветровая
накачка

Диссипация
Нелинейный
перенос

Misguiding
star

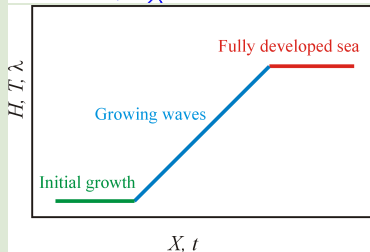
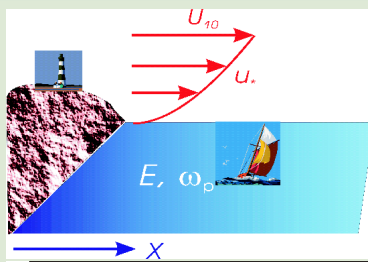
О домини-
ровании
нелинейно-
го
переноса

Асимпт.
теория
волнения

Стадии
роста
волнения

Публикации

Пространственный рост



Степенные аппроксимации

от безразмерного разгона
 $\chi = xg/U_h^2$

$$\tilde{E} = E_0 \chi^{p_\chi}; \quad \tilde{\omega}_p = \omega_0 \chi^{-q_\chi}$$

или безразмерного времени
 $\tau = tg/U_h$

$$\tilde{E} = E_0 \tau^{p_\tau}; \quad \tilde{\omega}_p = \omega_0 \tau^{-q_\tau}$$

(Китайгородский 1962)

Четыре свободных
параметра!!!

?????????????????????????????



Существует ли универсальность роста волнения?

Кин. ур-е
и прогноз
волнения

Кинетическое
уравнение
Ветровая
накачка
Диссипация
Нелинейный
перенос

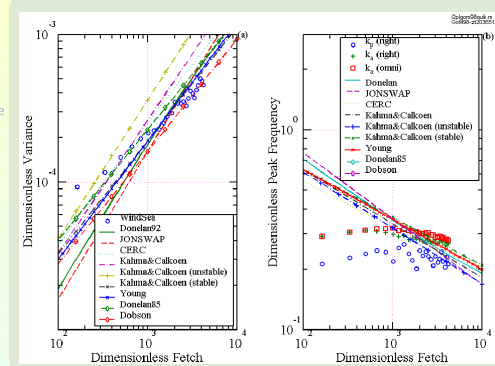
Misguiding
star

О домини-
ровании
нелинейно-
го
переноса

Асимпт.
теория
волнения

Стадии
роста
волнения

Публикации



Разброс параметров роста

$$0.6 < p_\chi < 1.1;$$

$$0.68 < 10^7 E_0 < 18.6$$

$$0.23 < q_\chi < 0.33;$$

$$10.4 < \omega_0 < 22.6$$

Thanks to Paul Hwang

**"PERHAPS IT IS TIME TO ABANDON THE IDEA THAT
A UNIVERSAL POWER LAW FOR NON-DIMENSIONAL
FETCH-LIMITED GROWTH RATE IS ANYTHING
MORE THAN AN IDEALIZATION".**

M. Donelan et al., 1992



Что дают наши автомодельные соотношения?

Кин. ур-е
и прогноз
волнения

Кинетическое
уравнение

Ветровая
накачка

Диссипация
Нелинейный
перенос

Misguiding
star

О домини-
ровании
нелинейно-
го
переноса

Асимпт.
теория
волнения

Стадии
роста
волнения

Публикации

Для двупараметрического семейства решений

$$\frac{E\omega_p^4}{g^2} = \alpha_{ss} \left(\frac{\omega_p^3 dE/dt}{g^2} \right)^{1/3}$$

Временной рост

$$p_\tau = \frac{9q_\tau - 1}{2};$$

$$E_0\omega_0^4 = \alpha_{ss} \left(p_\tau E_0\omega_0^3 \right)^{1/3}$$

Пространственный

$$p_\chi = \frac{10q_\chi - 1}{2};$$

$$E_0\omega_0^4 = \alpha_{ss} \left(p_\chi E_0\omega_0^2/2 \right)^{1/3}$$

Как сравнивать с экспериментом?

- ➊ Проверить зависимость p от q ;
- ➋ Оценить α_{ss}



Трудности сравнения

Кин. ур-е
и прогноз
волнения

Кинетическое
уравнение
Ветровая
накачка
Диссипация
Нелинейный
перенос

Misguiding
star

О домини-
ровании
нелинейно-
го
переноса

Асимпт.
теория
волнения

Стадии
роста
волнения

Публикации

“... the effective fetch concept is a poor approximation”
Kahma & Pettersson 1994, p.26

Data quality checklist

- ① Лабораторные данные – принципиально иная физика;
- ② Что такое пространственный рост?
 - пересчёт длительности в разгон;
 - фиктивные корреляции из-за обезразмеривания на скорость ветра
- ③ Композитные данные – данные при существенно различных показателях роста

Рассматриваем 4 группы экспериментов



“Cleanest” experiments

Кин. ур-е
и прогноз
волнения

Кинетическое
уравнение
Ветровая
накачка
Диссипация
Нелинейный
перенос

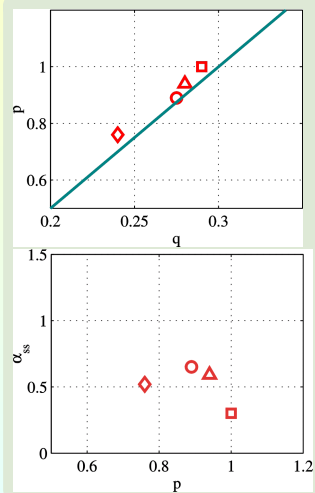
Misguiding
star

О доминиро-
вании
нелинейно-
го
переноса

Асимпт.
теория
волнения

Стадии
роста
волнения

Публикации



- – Black Sea, Babanin, 1996
- – US coast, Walsh et al 1989
- △ – Bothnian Sea, unstable
- ◊ – Bothnian Sea, stable

Kahma & Calkoen, 1992

Kahma & Calkoen, 1992

$$p_\chi = \frac{10q_\chi - 1}{2};$$

$$E_0\omega_0^4 = \alpha_{ss} \left(\frac{p_\chi E_0\omega_0^2}{2} \right)^{1/3}$$



Composite data

Кин. ур-е
и прогноз
волнения

Кинетическое
уравнение
Ветровая
накачка
Диссипация
Нелинейный
перенос

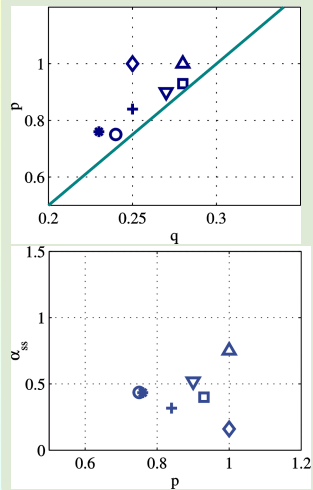
Misguiding
star

О доминиро-
вании
нелинейно-
го
переноса

Асимпт.
теория
волнения

Стадии
роста
волнения

Публикации



- – Dobson et al. 1989
- – Kahma & Pettersson 1994
- △ – JONSWAP, Davidan 1980
- ◊ – JONSWAP, Phillips 1977
- ▽ – Kahma & Calkoen 1992,
composite
- * – Lake Ontario, Donelan
et al. 1985
- + – CERC (1977), by Young
1999

$$p_\chi = \frac{10q_\chi - 1}{2};$$

$$E_0\omega_0^4 = \alpha_{ss} \left(\frac{p_\chi E_0\omega_0^2}{2} \right)^{1/3}$$



“Bad” experiments

Кин. ур-е
и прогноз
волнения

Кинетическое
уравнение
Ветровая
накачка
Диссипация
Нелинейный
перенос

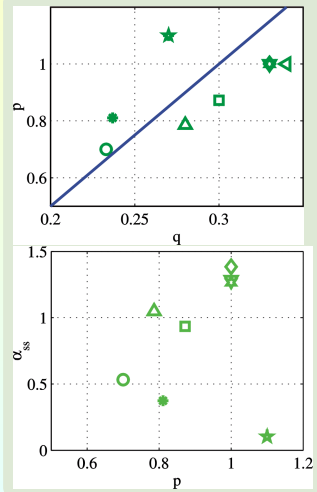
Misguiding
star

О доминировании
нелинейного
переноса

Асимпт. теория
волнения

Стадии
роста
волнения

Публикации



- – Wen et al. 1989
- – Evans & Kibblewhite 1990, neutral
- △ – Evans & Kibblewhite 1990, stable
- ◊ – Kahma & Calkoen 1981, 86, rapid
- ▽ – Kahma & Calkoen 1981, average
- * – Donelan et al. 1992
- – Hwang & Wang (2004, 06)
- + – Ross 1978, Atlantic, stable
- ★ – Liu & Ross 1980, L.Michigan, unstable
- ◁ – Davidan 1996, u^* scaling



“Sea + Lab” experiments

Кин. ур-е
и прогноз
волнения

Кинетическое
уравнение
Ветровая
накачка
Диссипация
Нелинейный
перенос

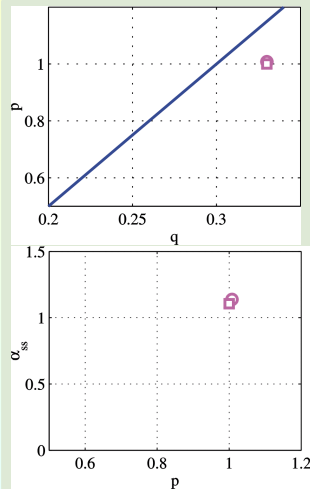
Misguiding
star

О доминиро-
вании
нелинейно-
го
переноса

Асимпт.
теория
волнения

Стадии
роста
волнения

Публикации



○ – JONSWAP, Hasselmann et al.
1973

□ – Mitsuyasu et al. 1971

$$p_x = \frac{10q_x - 1}{2};$$

$$E_0 \omega_0^4 = \alpha_{ss} \left(\frac{p_x E_0 \omega_0^2}{2} \right)^{1/3}$$



Кин. ур-е
и прогноз
волнения

Кинетическое
уравнение

Ветровая
накачка

Диссипация
Нелинейный
перенос

Misguiding
star

О домини-
ровании
нелинейно-
го
переноса

Асимпт.
теория
волнения

Стадии
роста
волнения

Публикации

Пространственный рост волнения в численном эксперименте и стадий развития волнения



Пространственный (fetch-limited) рост (с M. Benoit & E. Gagnaire-Renou)

Кин. ур-е
и прогноз
волнения

Кинетическое
уравнение
Ветровая
накачка
Диссипация
Нелинейный
перенос

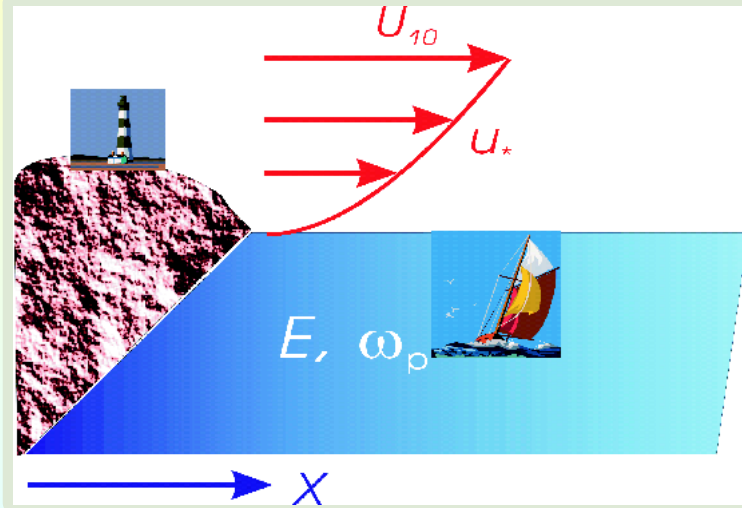
Misguiding
star

О доминиро-
вании
нелинейно-
го
переноса

Асимпт.
теория
волнения

Стадии
роста
волнения

Публикации





Два метода вычисления столкновительного интеграла и две функции накачки

Кин. ур-е
и прогноз
волнения

Кинетическое
уравнение
Ветровая
накачка
Диссипация
Нелинейный
перенос

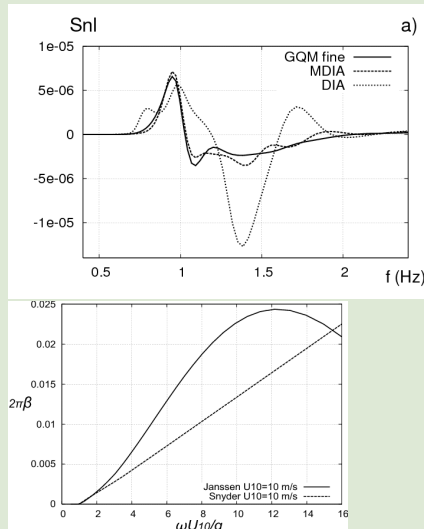
Misguiding
star

О домини-
ровании
нелинейно-
го
переноса

Асимпт.
теория
волнения

Стадии
роста
волнения

Публикации



Для интеграла
столкновений

DIA – Discrete
Interaction
Approximation
MDIA – Multiple DIA

GQM – Gauss
Quadrature
Method
(Lavrenov, 2002)

Для функций накачки
Snyder et al. 1981
Janssen 1989, 1991



Энергия – разгон (безразмерные)

Кин. ур-е
и прогноз
волнения

Кинетическое
уравнение
Ветровая
накачка
Диссипация
Нелинейный
перенос

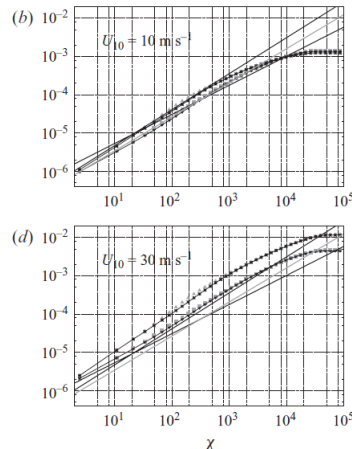
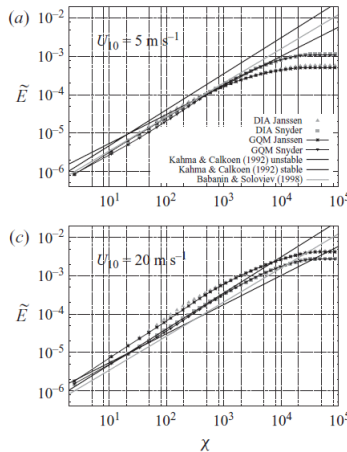
Misguiding
star

О домини-
ровании
нелинейно-
го
переноса

Асимпт.
теория
волнения

Стадии
роста
волнения

Публикации





Частота – разгон (безразмерные)

Кин. ур-е
и прогноз
волнения

Кинетическое
уравнение
Ветровая
накачка
Диссипация
Нелинейный
перенос

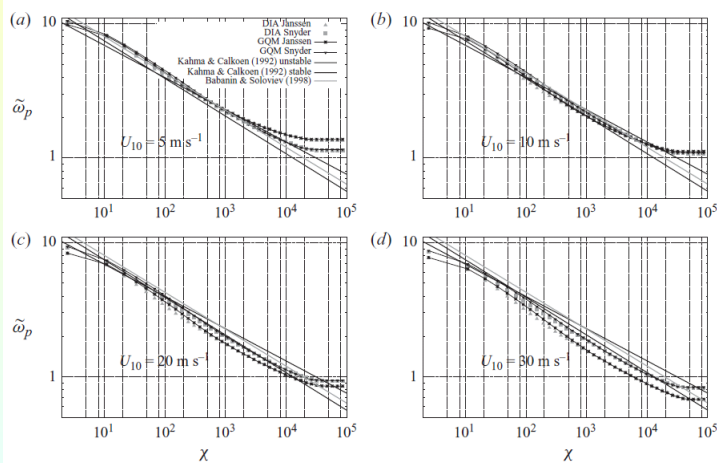
Misguiding
star

О домини-
ровании
нелинейно-
го
переноса

Асимпт.
теория
волнения

Стадии
роста
волнения

Публикации





Энергия-поток для пространственного роста

Кин. ур-е
и прогноз
волнения

Кинетическое
уравнение
Ветровая
накачка
Диссипация
Нелинейный
перенос

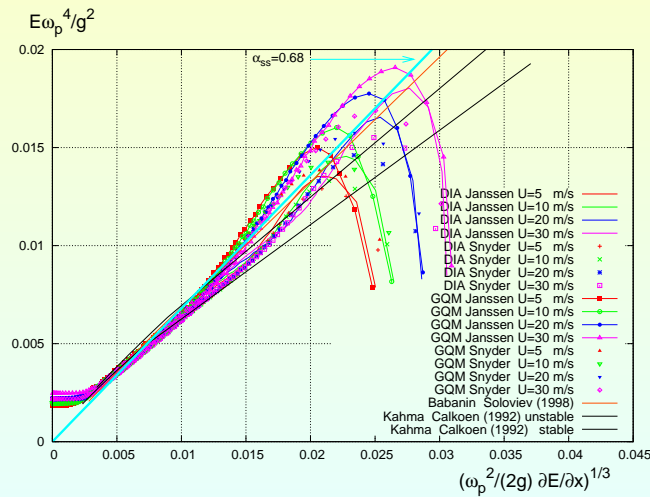
Misguiding
star

О доминиро-
вании
нелинейно-
го
переноса

Асимпт.
теория
волнения

Стадии
роста
волнения

Публикации





Параметр автомодельности α_{ss} для пространственного роста

Кин. ур-е
и прогноз
волнения

Кинетическое
уравнение
Ветровая
накачка
Диссипация
Нелинейный
перенос

Misguiding
star

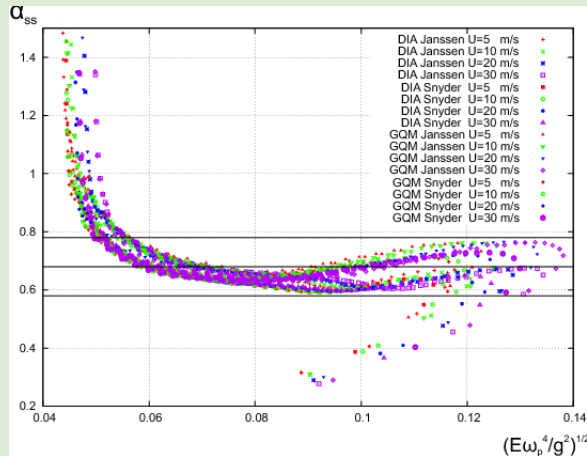
О доминиро-
вании
нелинейно-
го
переноса

Асимпт.
теория
волнения

Стадии
роста
волнения

Публикации

$\alpha_{ss} \sim p_\chi^{1/3}$ зависит от степени роста волнения





Есть ли «более равные» среди предъявленных нами автомодельных решений ?

Кин. ур-е
и прогноз
волнения

Кинетическое
уравнение
Ветровая
накачка
Диссипация
Нелинейный
перенос

Misguiding
star

О домини-
ровании
нелинейно-
го
переноса

Асимпт.
теория
волнения

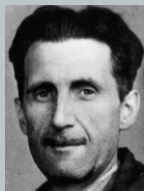
Стадии
роста
волнения

Публикации

«Канонические» зависимости $H \sim T^z$ ABC of wind-wave growth

- $z = 5/3$ – Hasselmann et al., 1976 – $dM/dt = \text{const}$;
- $z = 3/2$ – Toba, 1972 – $dE/dt = \text{const}$;
- $z = 4/3$ – Zakharov & Zaslavskii, 1983 – $dN/dt = \text{const}$

“ALL ANIMALS ARE EQUAL BUT SOME ANIMALS
ARE MORE EQUAL THAN OTHERS”



George Orwell, “Animal Farm”



ABC и D (зыбь) на $H - T$ зависимостях – «алфавит» ветрового волнения

Кин. ур-е
и прогноз
волнения

Кинетическое
уравнение
Ветровая
накачка
Диссипация
Нелинейный
перенос

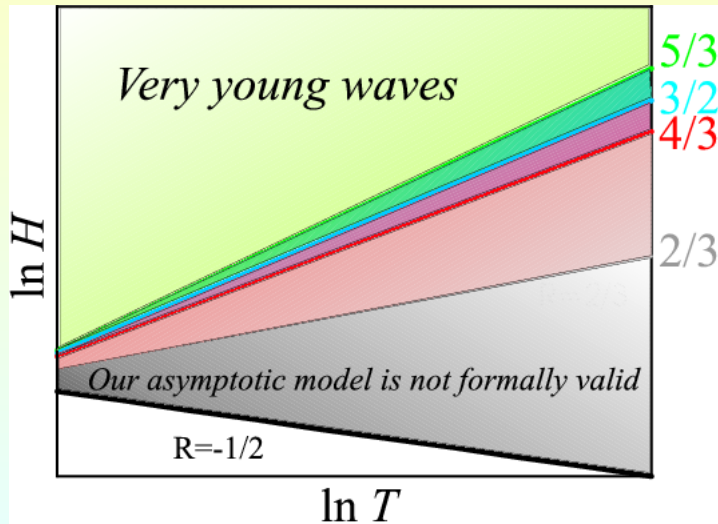
Misguiding
star

О домини-
ровании
нелинейно-
го
переноса

Асимпт.
теория
волнения

Стадии
роста
волнения

Публикации





В. Постоянный поток энергии – з-н Тобы 3/2

Кин. ур-е
и прогноз
волнения

Кинетическое
уравнение
Ветровая
накачка
Диссипация
Нелинейный
перенос

Misguiding
star

О домини-
ровании
нелинейно-
го
переноса

Асимпт.
теория
волнения

Стадии
роста
волнения

Публикации

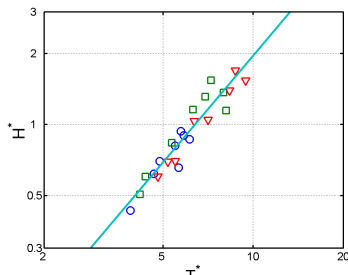
Toba (1972)

Стоксов дрейф =
напряжение трения ветра

$$H_s = B(gu_*)^{1/2} T_s^{3/2} \quad (\text{Toba})$$

$B = 0.062$ – постоянная

Лаб.эксперимент (Toba 1961)



Волновая турбулентность

У нас постоянство потока
энергии !!!

$$\frac{dE}{dt} = \frac{E^3 \omega_p^9}{\alpha_{ss}^3 g^4} = \text{const}$$

можно оценить этот поток

$$\frac{dE}{dt} = \frac{\pi^9 B^6 u_*^3}{8 \alpha_{ss}^3 g} = 0.16 \frac{\rho_a}{\rho_w} \frac{u_*^3}{\alpha_{ss}^3 g}.$$

Осторожно!
высокие степени E и ω_p !!!



А. Постоянный поток импульса – закон 5/3. Hasselmann et al. 1976

Кин. ур-
и прогноз
волнения

Кинетическое
уравнение
Ветровая
накачка
Диссипация
Нелинейный
перенос

Misguiding
star

О домини-
ровании
нелинейно-
го
переноса

Асимпт.
теория
волнения

Стадии
роста
волнения

Публикации

Одно-параметрическая зависимость

$$\tilde{E} = C_0 \left(\frac{\tilde{\omega}_p}{2\pi} \right)^{-10/3}; \quad C_0 = 5.1 \times 10^{-6}$$

Энергия линейно зависит от разгона ($p_\chi = 1$, $q_\chi = 3/10$)

Поток импульса постоянен

$$dM/dt = \text{const}$$

Конвертируем энергию в поток

$$\frac{dE}{dt} = 7.7 \times 10^{-3} \frac{\rho_a}{\rho_w} \frac{C_p u_*^2}{\alpha_{ss}^3 g}$$

Естественно связать поток импульса
с напряжением трения турбулентного ветра

$$\tau_w = \langle u' w' \rangle$$



С. Постоянный поток действия – закон 4/3 (Если хочется, то можно)

Кин. ур-е
и прогноз
волнения

Кинетическое
уравнение

Ветровая
накачка

Диссипация
Нелинейный
перенос

Misguiding
star

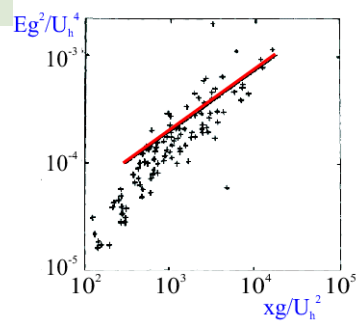
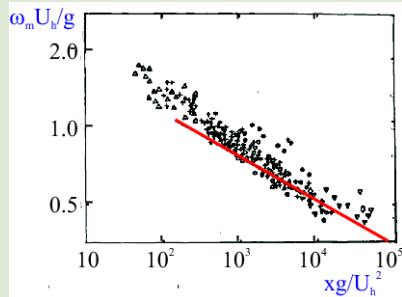
О домини-
ровании
нелинейно-
го
переноса

Асимпт.
теория
волнения

Стадии
роста
волнения

Публикации

Рисунок Захаров, Заславский, 1983.
Теория и эксперимент JONSWAP





С. Постоянный поток действия – закон 4/3. Захаров, Заславский 1983

Кин. ур-е
и прогноз
волнения

Кинетическое
уравнение

Ветровая
накачка

Диссипация
Нелинейный
перенос

Misguiding
star

О домини-
ровании
нелинейно-
го
переноса

Асимпт.
теория
волнения

Стадии
роста
волнения

Публикации

Одно-параметрическая зависимость

$$\tilde{E} = 1.5 \times 10^{-3} \tilde{\omega}_p^{-8/3} \quad (7)$$

показатели $\rho_\chi = 4/7$ и $q_\chi = 3/14$ близки к минимальным
наблюдаемым значениям

Конвертация энергии в поток

$$\frac{dE}{dt} = 1.6 \frac{\rho_a}{\rho_w} \frac{C_p^{-1} u_*^4}{\alpha_{ss}^3 g}$$

Постоянный поток действия

$$dN/dt = \text{const}$$



Как взаимодействуют волны и ветер?

Кин. ур-е
и прогноз
волнения

Кинетическое
уравнение
Ветровая
накачка
Диссипация
Нелинейный
перенос

Misguiding
star

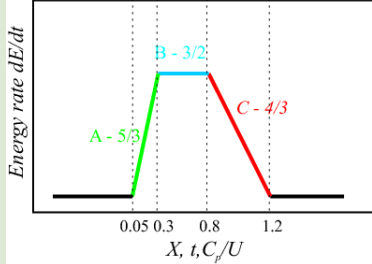
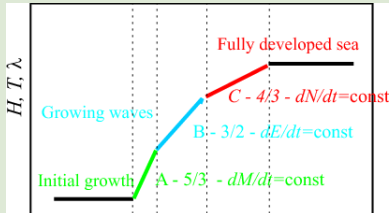
О доминиро-
вании
нелинейно-
го
переноса

Асимпт.
теория
волнения

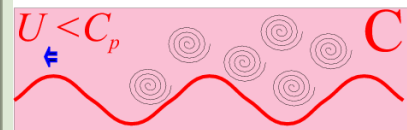
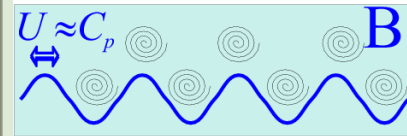
Стадии
роста
волнения

Публикации

РОСТ ВОЛН



Различные режимы взаимодействия





Кин. ур-е
и прогноз
волнения

Кинетическое
уравнение
Ветровая
накачка
Диссипация
Нелинейный
перенос

Misguiding
star

О домини-
ровании
нелинейно-
го
переноса

Асимпт.
теория
волнения

Стадии
роста
волнения

Публикации

Публикации

- S. I. Badulin, A. V. Babanin, D. Resio, and V. Zakharov, Weakly turbulent laws of wind-wave growth, *J. Fluid Mech.* 591 (2007), 339–378.
- S. I. Badulin, A. N. Pushkarev, D. Resio, and V. E. Zakharov, Self-similarity of wind-driven seas, *Nonl. Proc. Geophys.* 12 (2005), 891–946.
- Badulin, S. I., Babanin, A. V., Resio, D. & Zakharov, V. 2008a Numerical verification of



Кин. ур-е
и прогноз
волнения

Кинетическое
уравнение
Ветровая
накачка
Диссипация
Нелинейный
перенос

Misguiding
star

О домини-
ровании
нелинейно-
го
переноса

Асимпт.
теория
волнения

Стадии
роста
волнения

Публикации

weakly turbulent law of wind wave growth.
In IUTAM Symposium on Hamiltonian
Dynamics, Vortex Structures, Turbulence.
Proceedings of the IUTAM Symposium held
in Moscow, 25-30 August, 2006 (ed. A. V.
Borisov, V. V. Kozlov, I. S. Mamaev & M. A.
Sokolovskiy), IUTAM Bookseries, vol. 6, pp.
175–190. Springer, ISBN: 978-1-4020-6743-3.

- Badulin, S. I., Korotkevich, A. O., Resio, D. & Zakharov, V. E. 2008b Wave-wave interactions in wind-driven mixed seas. In Proceedings of the Rogue Waves 2008



Кин. ур-е
и прогноз
волнения

Кинетическое
уравнение

Ветровая
накачка

Диссипация

Нелинейный
перенос

Misguiding
star

О домини-
ровании
нелинейно-
го
переноса

Асимпт.
теория
волнения

Стадии
роста
волнения

Публикации

Workshop, October 13-15, 2008, Brest,
France (ed. Michel Olagnon & Marc
Prevosto), pp. 77–86. IFREMER, Brest,
France.

-  Badulin, S. I. & Caulliez, G. 2009
Significance of laboratory observations for
modeling wind-driven seas. In Geophysical
Research Abstracts, EGU General Assembly
2009, vol. 11, pp. 12694.
-  E. Gagnaire-Renou, M. Benoit, and S. I.
Badulin, On weakly turbulent scaling of
wind sea, JFM (2010), accepted.



Кин. ур-е
и прогноз
волнения

Кинетическое
уравнение
Ветровая
накачка
Диссипация
Нелинейный
перенос

Misguiding
star

О домини-
ровании
нелинейно-
го
переноса

Асимпт.
теория
волнения

Стадии
роста
волнения

Публикации

- A. O. Korotkevich, A. N. Pushkarev, D. Resio, and V. E. Zakharov, Numerical verification of the weak turbulent model for swell evolution, Eur. J. Mech. B/Fluids 27 (2008), no. 361, doi:10.1016/j.euromechflu.2007.08.004.
- V. P. Krasitskii, On reduced Hamiltonian equations in the nonlinear theory of water surface waves, J. Fluid Mech. 272 (1994), 1–20 (English).



Кин. ур-е
и прогноз
волнения

Кинетическое
уравнение
Ветровая
накачка
Диссипация
Нелинейный
перенос

Misguiding
star

О домини-
ровании
нелинейно-
го
переноса

Асимпт.
теория
волнения

Стадии
роста
волнения

Публикации

Pushkarev et al.(2003) Pushkarev, Resio & Zakharov] PRZ2003 Pushkarev, A. N., Resio, D. & Zakharov, V. E. 2003 Weak turbulent theory of the wind-generated gravity sea waves. *Phys. D: Nonlin. Phenom.* 184, 29–63.

- V. E. Zakharov, Problems of the theory of nonlinear surface waves, Ph.D. thesis, Budker Institute for Nuclear Physics, Novosibirsk, USSR, 1966.
- V. E. Zakharov, Statistical theory of gravity and capillary waves on the surface of a



finite-depth fluid, Eur. J. Mech. B/Fluids 18 (1999), 327–344 (English).

-  V. E. Zakharov, G. Falkovich, and V. Lvov, Kolmogorov spectra of turbulence. part I, Springer, Berlin, 1992 (English).
-  V. E. Zakharov and N. N. Filonenko, Energy spectrum for stochastic oscillations of the surface of a fluid, Soviet Phys. Dokl. 160 (1966), 1292–1295 (English).
-  V. E. Zakharov, A. O. Korotkevich, A. N. Pushkarev, and D. Resio, Coexistence of



weak and strong wave turbulence in a swell propagation, Phys. Rev. Lett. 99 (2007), no. 164501.

-  V. E. Zakharov and M. M. Zaslavsky, The kinetic equation and Kolmogorov spectra in the weak-turbulence theory of wind waves, Izv. Atmos. Ocean. Phys. 18 (1982), 747–753 (English).
-  V. E. Zakharov and M. M. Zaslavsky, Dependence of wave parameters on the wind velocity, duration of its action and fetch in the weak-turbulence theory of water waves,



Кин. ур-е
и прогноз
волнения

Кинетическое
уравнение

Ветровая
накачка

Диссипация
Нелинейный
перенос

Misguiding
star

О домини-
ровании
нелинейно-
го
переноса

Асимпт.
теория
волнения

Стадии
роста
волнения

Публикации

Izv. Atmos. Ocean. Phys. 19 (1983), no. 4,
300–306 (English).